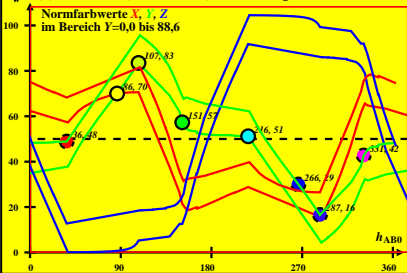


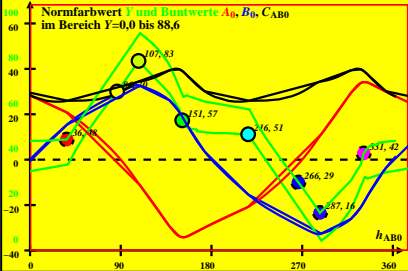
CIE-P60-Daten von -Ostwald-Farben von maximalem Buntwert C_{AB}
 $Y_w=88,6$, $Y_m=520_770$, $B_m=380_520$, 2 Berechnungsmethoden



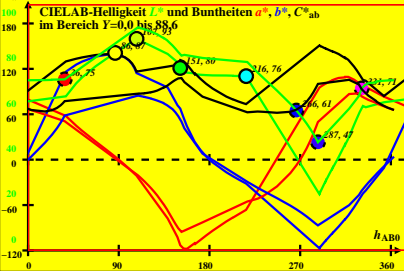
DG211-1 A_1

DG210-7R

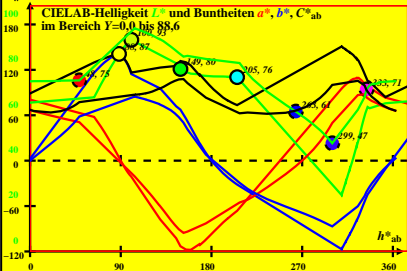
CIE-P60-Daten von -Ostwald-Farben von maximalem Buntwert C_{AB}
 $Y_w=88,6$, $Y_m=520_770$, $B_m=380_520$, 2 Berechnungsmethoden



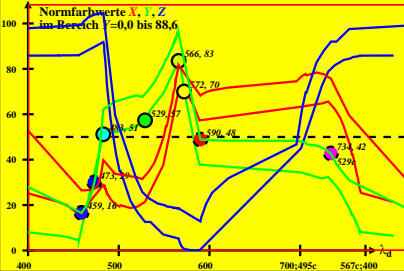
CIE-P60-Daten von -Ostwald-Farben von maximalem Buntwert C_{AB}
 $Y_w=88,6, Y_m=520_770, B_m=380_520, 2$ Berechnungsmethoden



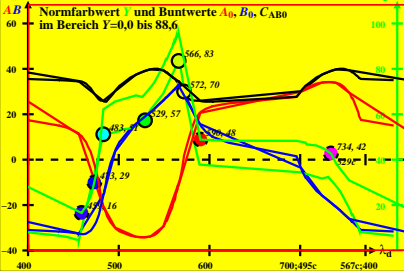
CIE-P60-Daten von -Ostwald-Farben von maximalem Buntwert C_{AB}
 $Y_w=88,6$, $Y_m=520_770$, $B_m=380_520$, 2 Berechnungsmethoden



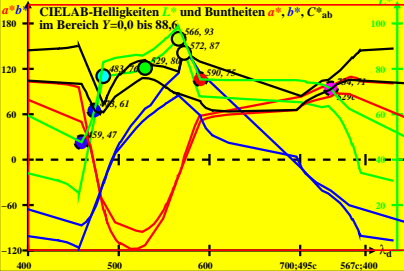
CIE-P60-Daten von -Ostwald-Farben von maximalem Buntwert C_{AB}
 $Y_w=88,6$, $Y_m=520_770$, $B_m=380_520$, 2 Berechnungsmethoden



CIE-P60-Daten von -Ostwald-Farben von maximalem Buntwert C_{AB}
 $Y_w=88,6, Y_m=520_770, B_m=380_520, 2$ Berechnungsmethoden



CIE-P60-Daten von -Ostwald-Farben von maximalem Buntwert C_{AB}
 $Y_w=88,6, Y_m=520_770, B_m=380_520, 2$ Berechnungsmethoden



CIE-P60-Daten von -Ostwald-Farben von maximalem Buntwert C_{AB}
 $Y_w=88,6$, $Y_m=520_770$, $B_m=380_520$, 2 Berechnungsmethoden

ab Normfarbwert Y und Farbarten a_0 , b_0 , c_{ab0}
 im Bereich $Y=0,0$ bis $88,6$

